

## 《NaCu<sub>5</sub>S<sub>3</sub> 复合 Ni<sub>x</sub>Fe-LDH 的结构对水解氧析出性能的影响\*》的补充材料

白成<sup>1)</sup> 吴用<sup>1)2)†</sup> 辛雨慈<sup>1)</sup> 牟俊峰<sup>1)</sup> 江俊颖<sup>1)</sup> 丁鼎<sup>2)</sup> 夏雷<sup>2)</sup> 余鹏<sup>1)‡</sup>

1) (重庆师范大学物理与电子工程学院, 光电功能材料重庆市重点实验室, 重庆 401331)

2) (上海大学材料研究所, 上海 200072)

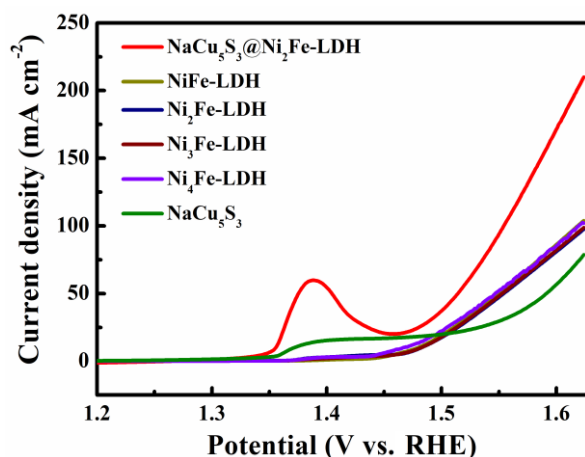


图 S1 NiFe-LDH, Ni<sub>2</sub>Fe-LDH, Ni<sub>3</sub>Fe-LDH, Ni<sub>4</sub>Fe-LDH, NaCu<sub>5</sub>S<sub>3</sub> 和 NaCu<sub>5</sub>S<sub>3</sub>@Ni<sub>2</sub>Fe-LDH 催化剂的 LSV 极化曲线

Fig. S1. LSV polarization curves of NiFe-LDH, Ni<sub>2</sub>Fe-LDH, Ni<sub>3</sub>Fe-LDH, Ni<sub>4</sub>Fe-LDH, NaCu<sub>5</sub>S<sub>3</sub> and NaCu<sub>5</sub>S<sub>3</sub>@Ni<sub>2</sub>Fe-LDH catalysts.

† 通信作者. E-mail: [wy\\_yp@shu.edu.cn](mailto:wy_yp@shu.edu.cn)

‡ 通信作者. E-mail: [pengyu@cqu.edu.cn](mailto:pengyu@cqu.edu.cn)

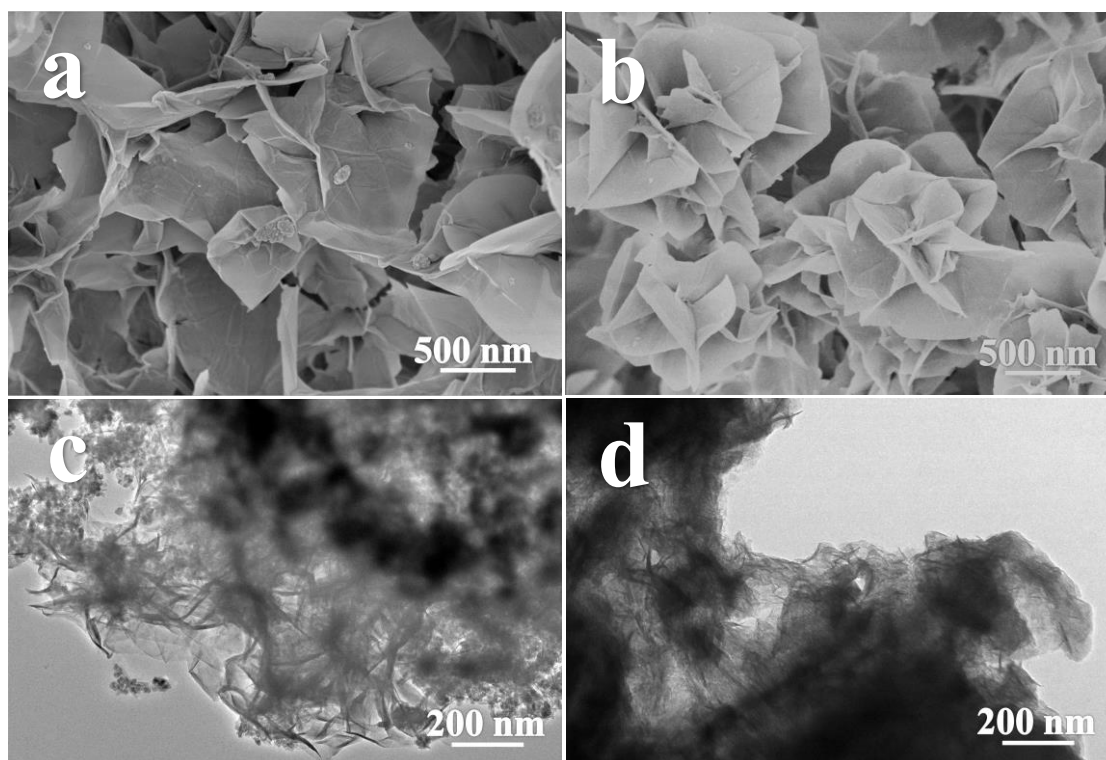


图 S2 (a), (b)  $\text{NaCu}_5\text{S}_3@ \text{Ni}_2\text{Fe-LDH}$  催化剂 OER 前和 OER 后的 SEM; (c), (d)  $\text{NaCu}_5\text{S}_3@ \text{Ni}_2\text{Fe-LDH}$  催化剂 OER 前和 OER 后的 TEM

Fig. S2. (a), (b) SEM before and after OER of  $\text{NaCu}_5\text{S}_3@ \text{Ni}_2\text{Fe-LDH}$  catalyst; (c), (d)  $\text{NaCu}_5\text{S}_3@ \text{Ni}_2\text{Fe-LDH}$  catalyst before and after OER TEM.